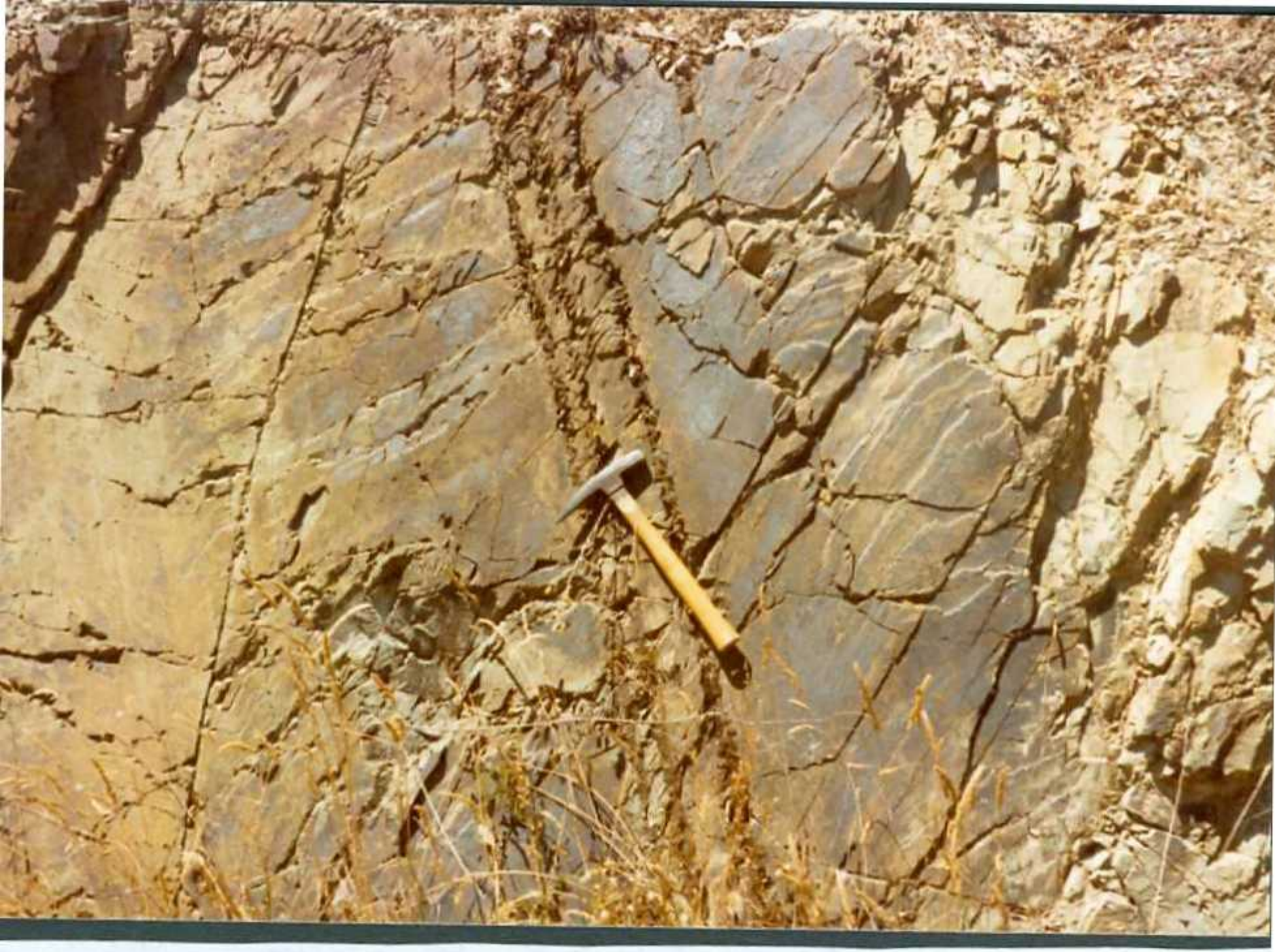


Foto 1.- Aspecto del tramo PC-CA_2. Pizarras con finos niveles dolomíticos disueltos.



Foto nº2.- Tramo PC-CA_3.Calcoesquistos con niveles o nódulos dolomíticos.La estratificación buza hacia la izquierda de la foto,la esquistosidad es subvertical.



Foto nº3.- Tramo PC-CA_3. Obsérvense los niveles dolomíticos de color amarillento en la foto.

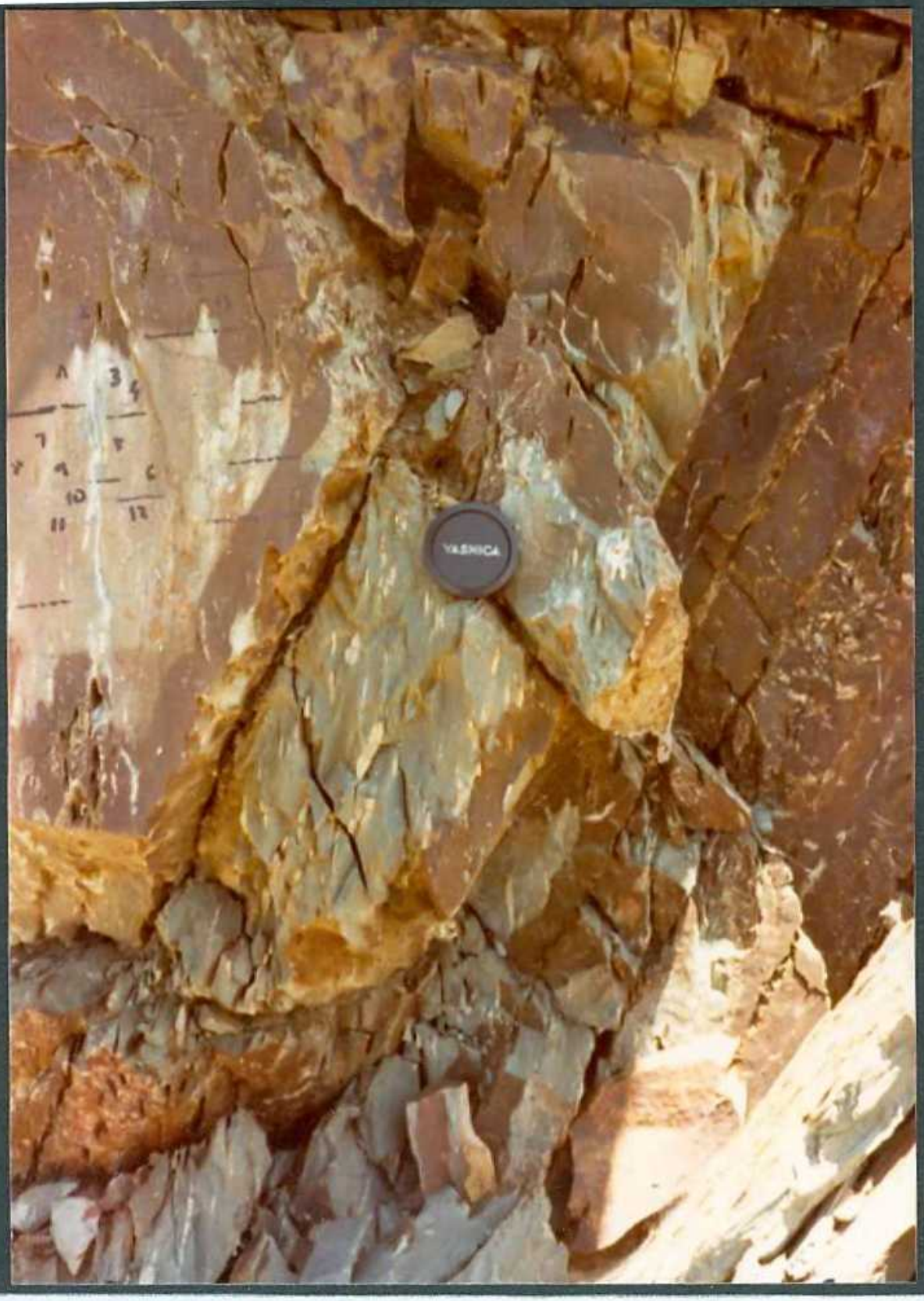


Foto 004.- Tramo PC-CA3. Aspecto de los nódulos dolomíticos en un plano perpendicular al de esquistosidad.



Foto 5.- Tramo PC-CA_3.Nódulos dolomíticos observados en una sección paralela al plano de esquistosidad S_1. Bloque caido en la cantera situada al SE de la presa.



Foto 6.- Los mismos nódulos "in situ".El estiramiento (eje mayor de la elipse de deformación en el plano de esquistosidad) es subhorizontal,paralelo al mango del martillo.



Foto 107.- Aspecto que toma la roca del tramo PC-CA3 cuando se han disuelto los nódulos dolomíticos.El plano que observamos es subparalelo al plano YZ del elipsoide de deformación.



Foto 8.- Paraconglomerados del tramo PC-CA_5. Los cantos de cuarzo de color blanco son subredondeados. Sección paralela al plano de esquistosidad.



Foto nº9.- Aspecto de los paraconglomerados del tramo $PC\text{-}CA_5$ con cantos de cuarzo redondeados y de dolomias impuras de color gris.Sección perpendicular al plano de esquistosidad.



Foto 10.- Relieves residuales estructurales de Amatos. Formación Areniscas de Salamanca ($T^{A}_{C}gs$ y $T^{A}_{C}s$) buzando al SE debido a la falla Alba-Villoria.



Foto 11.- Formación Areniscas de Salamanca en el Recodo. $T_C^A gs$ en la parte inferior de la fotografía. En la parte superior $T_C^A s$ resaltando debido a la cementación silícea.

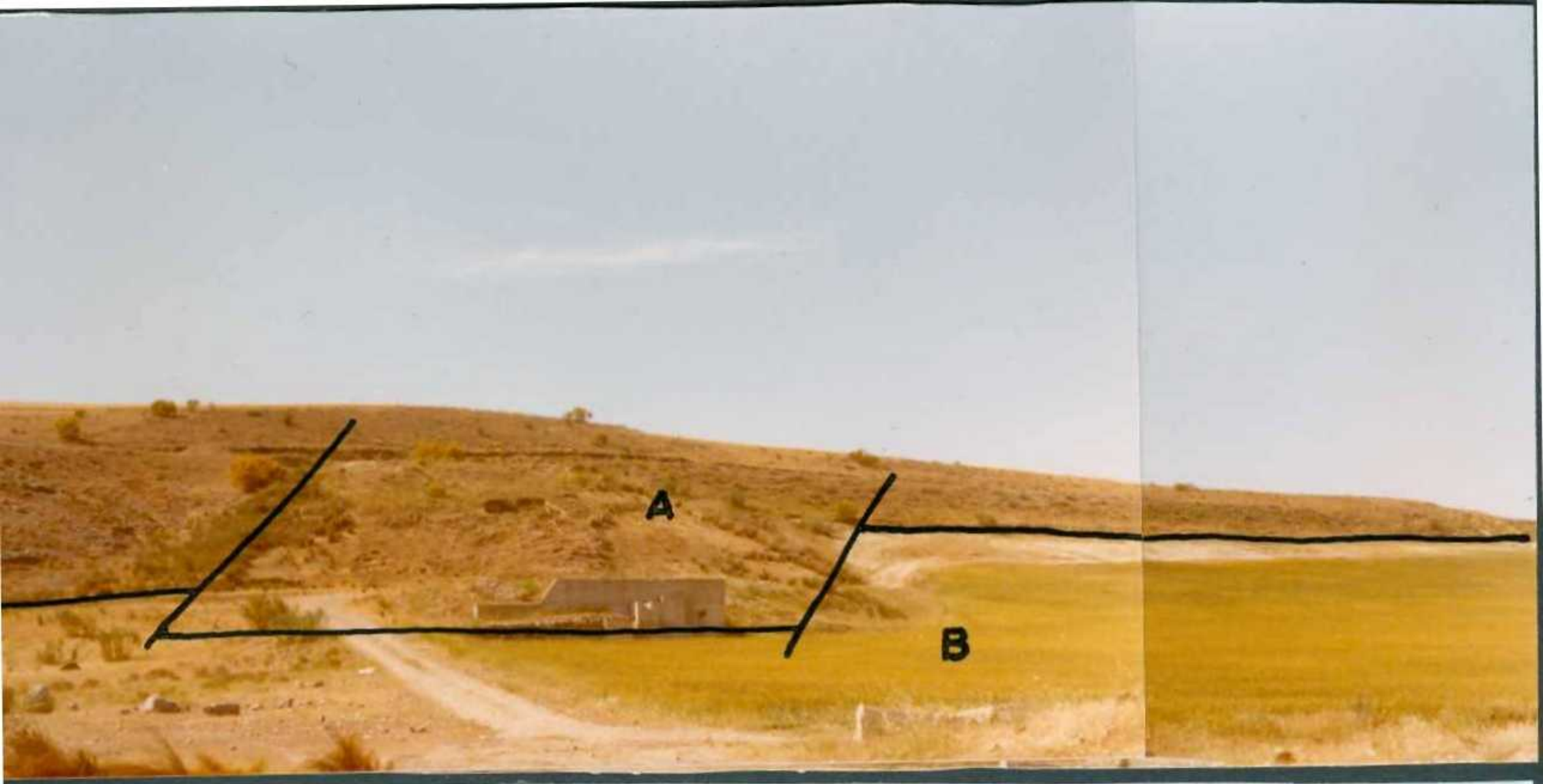


Foto 12.- Panorámica de la falla Alba-Villoria y asociadas en la Cuesta de Sta. Ana. A) Formación Areniscas de Salamanca ($T_c^A gs, T_c^A s$). B) Facies Carrascal ($T_{c11}^{Ba-Bb} s1$).



Foto/013. Panorámica de la Formación Areniscas de Salamanca ($T_C^A gs, T_C^A s$) en el Recodo y Casilla del Corralón desde la carretera de Alba de Tormes a Encinas de Abajo.



Foto Ø14.- Vista general de la Cuesta de Sta. Ana.El pie del escarpe coincide con el trazado de la falla Alba-Villoria.En primer término la Formación Areniscas de Salamanca ($T_C^A gs, T_C^A s$).Los materiales blanquecinos de la derecha de la fotografía pertenecen a la Facies Carrascal ($T_{c11}^{Ba-Bb} sl$).



Foto 015.- Formación Areniscas de Salamanca ($T_C^A s$) en el Recodo. Cicatriz erosiva separando los términos superior e inferior de dos ciclos fluviales.

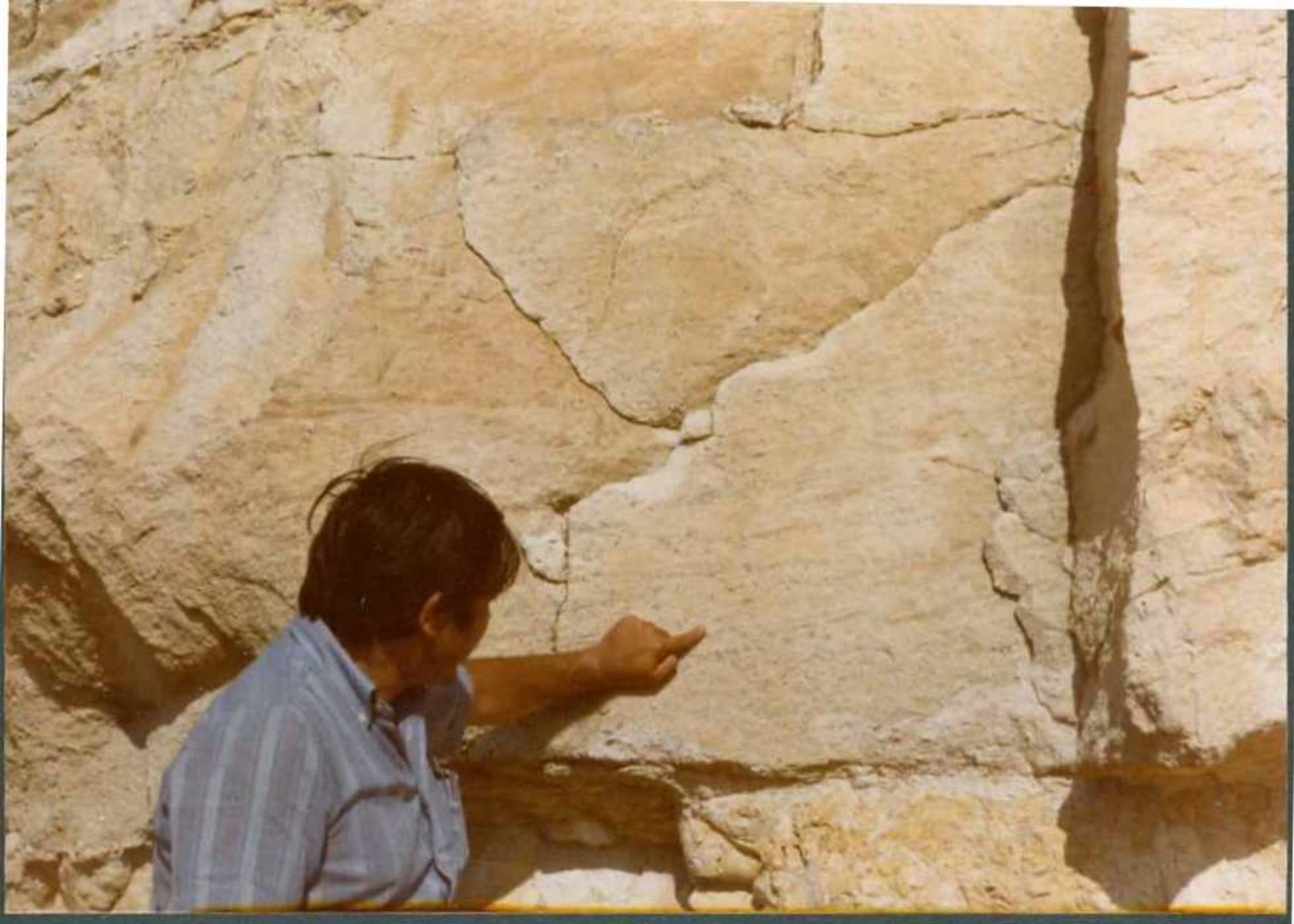


Foto 16.- Detalle de la anterior mostrando la estratificación cruzada curva del término basal del ciclo superior.



Foto 17.- Canales soldados de la Formación Areniscas de Cabrerizos ($T_{c2}^{Ab}s$) en las proximidades de Huerta. Observese las cicatrices erosivas y el aspecto moteado de los fangos arenosos y las areniscas.



Foto 18.- Formación Areniscas de Aldearrubia ($T^{Ac}_{C2}s$) en Huerta. Canales soldados cuya dirección es N 40º (aproximadamente perpendicular a la fotografía).



Foto 19.- Formación Areniscas de Aldearrubia ($T^{Ac}_{C2}s$) en las proximidades del Balneario de Babilafuente. Canal relleno por sets con laminación paralela a veces deformada por escape de fluidos.



Foto 020.- Formación Areniscas de Aldearrubia ($T^{Ac}_{C2}s$). Foto situada inmediatamente a la izquierda (W) de la anterior. Obsérvese el borde de canal (encima del martillo) y la laminación interna del mismo.



Foto 21.- Vista general del afloramiento de la Formación Areniscas de Aldearrubia ($T^{Ac}_{c2}s$) en el talud del ferrocarril en las proximidades de la estación de San Morales.



Foto Ø22.- Canales soldados de la Formación Areniscas de Aldearrubia ($T^{Ac}_{c2}s$) en la estación de San Morales. Destacan las cicatrices erosivas que separan los cuerpos arenosos así como la laminación interna de estos.

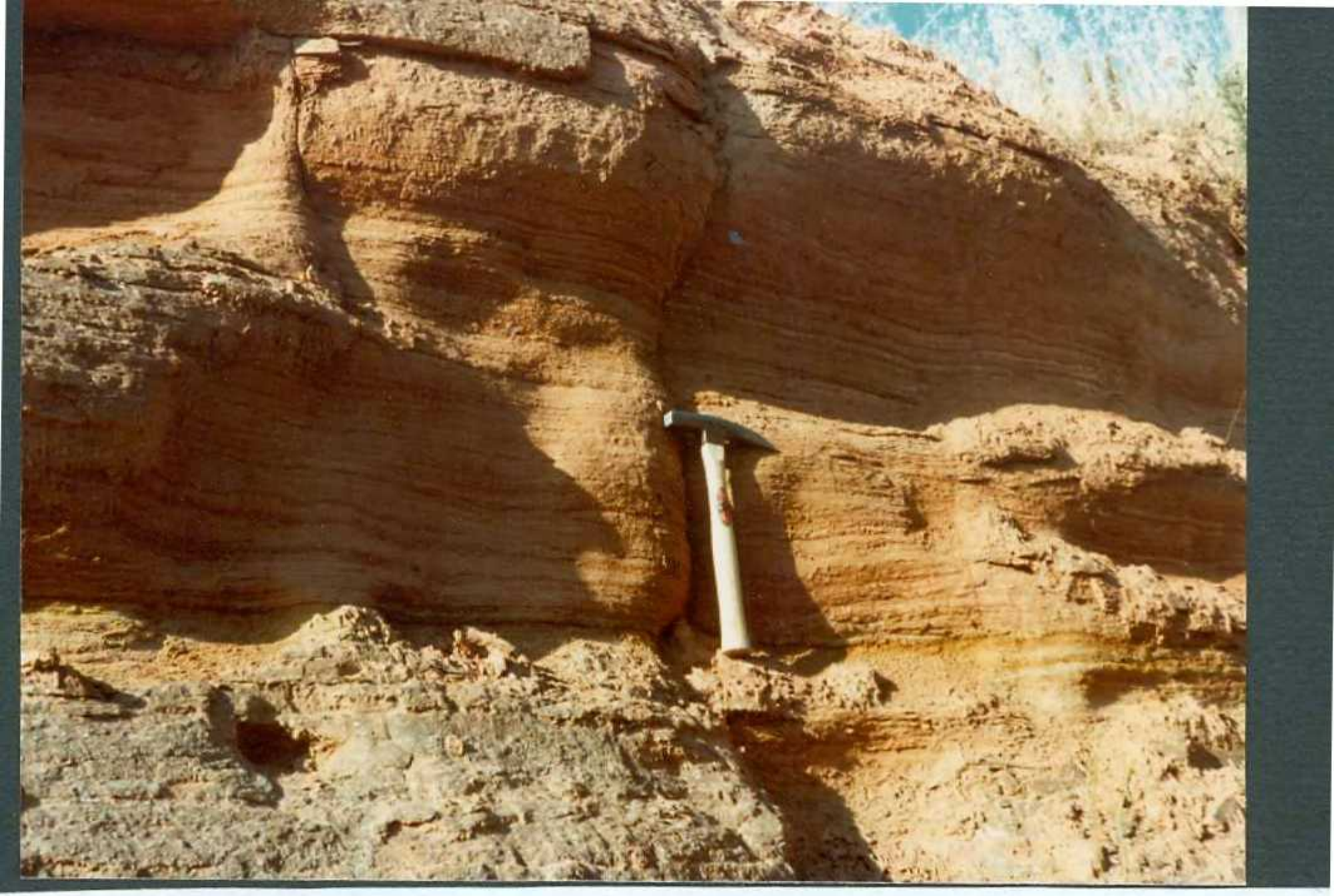


Foto 023.- Detalle de las laminaciones de uno de los cuerpos de la fotografía anterior.



Foto 24.- Deslizamiento en el borde de canal en las Areniscas de Aldearrubia ($T^{AC}_{c2}s$). Estación de San Morales.



Foto 25.- Areniscas de Aldearrubia ($T^{Ac}_{c2}s$) en la estación de San Morales. OBservese las estructuras de inyección de arcillas (flame structure), cantos blandos de hasta 25 cm de diametro y estructuras de escape de fluidos remarcadas por láminas rojas.



Foto 26.- Foto inmediatamente a la derecha de la anterior. A la derecha del martillo estructura de escape de fluidos erosionada por el nivel superior.



oto 27.- Estructuras de deformación hidroplástica emarcadas por láminas rojas. Areniscas de Aldearrubia r $^{Ac}_{c2}$s) en la estación de San Morales.



oto/028.- El Recodo.Contacto disconforme entre la
ormación Areniscas de Salamanca ($T^{A}_{C}gs, T^{A}_{C}s$) en
rimer término y la Facies Cilloruelo ($T^{Ba-Bb}_{C11}sg$).



Foto 29.- El Recodo. Canal en la Facies Cilloruelo ($T^{Ba-Bb}_{c11}sg$). Obsérvese la estratificación interna remarcada por los cantos.



Foto 30.- Estratificación cruzada en surco en la Facies Carrascal (T^{Ba-Bb}_{c11} sl). Talud de un pozo situado a 1.500 m al sur de Villoria, en el flanco este de la falla Alba-Villoria.



Foto 31.- Detalle de la fotografía anterior.



Foto 32.- Panorámica de la cantera al norte de Cilloruelo donde está definida la facies del mismo nombre ($T^{Ba-Bb}_{c11}sg$).



Foto 33.- Facies Cilloruelo (T^{Ba-Bb}_{c11} sg). Nivel de fangos laminados y moteados a la entrada de la cantera.



Foto 34.- Facies Carrascal (T^{Ba-Bb}_{c11} sl) en una de las zanjas excavadas para el proyecto de Regadío de la Armuña. Alternancias de arenas (tonos claros) y fangos (tonos oscuros). Buzamiento hacia el SE debido a la falla Alba-Villoria.



Foto 35.- Panorámica de la serie de Garcihernandez (T^{Bc}_{c1I}s) en la localidad del mismo nombre. Esta facies presenta frecuentes abarrancamientos.



Foto 36.- Facies Garcihernandez ($T^{Bc}_{c11}s$) en la serie anterior. Cicatriz erosiva separando un término de fangos muy arenosos verdes y arenas blanquecinas microconglomeráticas.



Foto 37.- Hiladas de cantos dentro de las areniscas en la parte superior de la serie de Garcihernandez ($T^{Bc}_{c11}s$).



Foto038.- Serie de Garcihernandez ($T^{Bc}_{c11}s$). Cicatriz erosiva separando dos ciclos. En la base del superior se observa un gran canto blando así como dos sets de estratificación cruzada curva.



Foto 39.-Facies de Garcihernandez (T^{BC}_{C11} s) en Peñarandilla. Canal relleno por gravas y cantos de hasta 20 cms. de tamaño máximo.



Foto040.-Facies de Garcihernandez ($T^{Bc}_{c11}s$). Detalle del relleno de los canales soldados de Nava de Sotroval, observese el tamaño de los clastos.



Foto 41.-Facies de Garcihernandez (T^{Bc}_{c11}s). Serie en el escarpe del rio en las proximidades de Boveda del Rio Almar. Canales rellenos por gravas y arenas de grano muy grueso.



Foto 42.-Detalle de la anterior en la que se aprecia el tamaño de los cantos.



Foto//43.-Canales arenosos muy planos correspondientes a la Facies de Garcihernandez ($T^{Bc}_{c11}s$) en Coca de Alba.



Foto 044.-Aspecto del escarpe sobre el rio Almar en las cercanías de Arauzo donde se indentan las Facies de Gacihernandez y la Facies de Arauzo($T^{Bc}_{c11}sf$).



Foto 45.-Vista parcial de la cantera de Arauzo donde esta definida la facies del mismo nombre (T^{Bc}_{c11}sf), constituida fundamentalmente por fangos arenosos arcósicos de color verde.



Foto 046.-Facies de Garcihernandez ($T^{Bc}_{c11}s$) en Tordillos. Canales rellenos por arena muy gruesa y gravas.



Foto 47.-Disconformidad entre la Facies Carrascal (T^{Ba-Bb}_{c11} sl) correspondiente al Mioceno anterior al Vallesiense y la Facies de Villoria (T^{Bc}_{c12} cg) que representa el Turoliense.



Foto 48.-Aspecto de los conglomerados de la Facies de Villoria (T^{Bc}_{c12} cg) en las cercanías de la localidad de dicho nombre.



Foto 049.-Panorámica de los escarpes de la margen derecha del rio Gamo en las cercanías de Garcihernandez, desde la carretera de Alba de Tormes. La Falla Alba-Villoria pasa por el centro de la fotografía, correspondiendo los relieves de la izquierda al Paleógeno (F.A. de Salamanca) mientras que los de la derecha pertenecen al Mioceno (F. de Garcihernandez).



Foto 050.-Vista de la Falla Alba-Villoria en una cantera situada entre Amatos y Alba de Tormes, enel limite de la Hoja. Su trazado corresponde con la diagonal de la fotografía (ángulo inferio derecho al superior izquierdo), poniendo en contacto el Mioceno, derecha de la fotografía, con el Paleógeno basal.



Foto 051.-Panorámica del Valle del Tormes, al fondo el Azud de Villagonzalo. En primer término, en la linea del horizonte, alta terraza del rio Tormes.



Foto 1052. Ultima terraza del río Almar (Q_1T_1) al SE de Ventosa del río Almar. Laminaciónes oblícuas de gravas y cantos poligénicos con abundante matriz arenosa.



Foto 1053. Canteras en la terraza ($Q_1 T_1$) del río Almar. Esta terraza está conectada hidraulicamente con el canal actual. Al SE de Ventosa del río Almar.



Foto 1054. Terraza a +18 m. (Q_1T_8) del río Gamo al Sur de La Lurda. Nótese un surco relleno por aportes laterales.



Foto 1055. Terraza a + 30 m ($Q_1 T_7$) del río Almar al Norte de Bóveda del río Almar. Gravas y cantos poligénicos, fracturados y heteroméstricos y sin ordenación interna aparente.



Foto 1056. Islas con vegetación en el río Tormes a su paso por Huerta.



Foto 1057. Llanura de inundación ($Q_2 L_i$) del río Tormes y nivel de aguas medias en el sector de Huerta (Codo del río Tormes).



Foto 1058. Talud fluvial del río Tormes tallado en areniscas paleógenas de grano fino (en el codo del río Tormes. (T^{AC}_{g})



oto 1059. Ladera en vías de desestabilización al Norte de Garcihernández (valle del río Gamo). Torrenteras, cárcavas y flujos hipodérmicos erosionan arenas fangosas conglomeráticas ($T^{BC_s}_{C11}$) del sustrato.



Foto 1060. Talud de la terraza de +18 m ($Q_1 T_8$) del río Gamo y llanura de inundación al SE de Garcihernández.



Foto 1061. Frente Paleógeno (T^{S}_{C2} AC) surcado por torrenteras y cárcavas, visto desde el Codo del río Tormes. En primer término lecho rocoso del río Tormes.



Foto 1062. Caída de bloques y resaltes estructurales paleógenos ($T^{A}_{C}S$) formados por areniscas microconglomeráticas, en las proximidades de Carpio Bernardo.



Foto 1063. Panorámica del cerro testigo situado al E de Carpio Bernardo. Resguardado de la erosión por las tablas duras subhorizontales paleógenas.



Foto 1064. Relieve residual paleógeno de Carpio (909m) que está coronado por la alta terraza ($Q_1 T_1$) del río Tormes.



Foto 1065. Vista general del ángulo suroccidental de la Hoja de Peñaranda de Bracamonte (479), desde los cerros de Carpio. En el plano medio el Azud de Villagonzalo.